

УДК 546.73.431.669:548.736

КРИСТАЛЛИЧЕСКАЯ СТРУКТУРА КОБАЛЬТИТА $\text{LuBaCo}_4\text{O}_7$

© 2008 Л.П. Козеева*, М.Ю. Каменева, А.И. Смоленцев, В.С. Данилович,
Н.В. Подберезская

Институт неорганической химии им. А.В. Николаева СО РАН, Новосибирск

Статья поступила 7 марта 2008 г.

С доработки — 29 мая 2008 г.

В системе Lu—Ba—Co—O спонтанной кристаллизацией из медленно охлаждаемого нестехиометрического расплава получены кристаллы $\text{LuBaCo}_4\text{O}_{7+\delta}$ (114Lu). Кристаллы охарактеризованы методами аналитической электронной микроскопии и порошковой дифрактометрии на синхротронном излучении. Проведено уточнение структуры (автоматический дифрактометр Bruker X8 APEX с CCD детектором, MoK_α , графитовый монохроматор, $\theta_{\max} = 32,54^\circ$). Параметры гексагональной элементарной ячейки: пр. гр. $P6_3mc$, $a = 6,2601(1)$, $c = 10,2017(3)$ Å, $V = 346,23(1)$ Å³, $Z = 2$, $d_{\text{выч}} = 6,331$ г/см³. Структура каркасная вюрцитового типа уточнена анизотропно до R -фактора 0,0174. Обсуждается проблема электронейтральности соединения и соразмерности структурных фрагментов.

Ключевые слова: кобальтиты бария, лютения, тройные оксиды, высокотемпературная кристаллизация, структура оксидов кобальта.

ВВЕДЕНИЕ

Настоящая работа посвящена получению кристаллов $\text{LuBaCo}_4\text{O}_{7+\delta}$, относящихся к новому классу кобальтитов $\text{RBaCo}_4\text{O}_{7+\delta}$ (114R, R — редкоземельные ионы, Y), и уточнению их кристаллической структуры. Оксиды кобальта системы $\text{RBaCo}_4\text{O}_{7+\delta}$ впервые были получены относительно недавно и вызвали повышенный интерес у исследователей своими уникальными магнитными и электрофизическими свойствами [1—10], многие из них пока не объяснены. Будучи стехиометрическими по катионам, соединения 114R могут сильно различаться по содержанию кислорода ($-0,04 < \delta < 1,5$) [5], что также представляет особенность кобальтитов такого состава.

Кристаллическая структура установлена для соединений с Y [2, 4, 5, 9], Tb [4, 7], Dy [3], Ho [1, 3], Yb [6], Lu [3, 9, 10], Y+Ca [8] (табл. 1). Все они оказались изоструктурными соединениям $\text{Ba}_2\text{Er}_2\text{Zn}_8\text{O}_{13}$ [10] и $\text{LuBaAlZn}_3\text{O}_7$ [11] с гексагональной симметрией (пр. гр. симметрии $P6_3mc$). Структура вюрцитового типа, в которой ионы кобальта распределены по двум типам чередующихся слоев из соединенных вершинами тетраэдров CoO_4 (треугольные сетки и сетки Кагомэ). Как видно из табл. 1, структуры определены, в основном, методом полнопрофильного анализа порошковых образцов. Исследование структуры монокристалла и сопоставление результатов с данными порошковых методов представляет самостоятельный интерес.

ЭКСПЕРИМЕНТАЛЬНАЯ ЧАСТЬ

Получение кристаллов и их характеристика. Монокристаллы получены спонтанной кристаллизацией из медленно охлаждаемого расплава системы $0,475\text{Lu}_2\text{O}_3 - 0,316\text{BaO} - 0,209\text{Co}_3\text{O}_4$. Чистота исходных реагентов: Lu_2O_3 (ос.ч.), BaCO_3 (ос.ч.), Co_3O_4 (ч.д.а.). Кристал-

* E-mail: kozeeva@che.nsk.su

Таблица 1

Структурные характеристики соединений состава $\text{RBaCo}_4\text{O}_{7+\delta}$ (пр. гр. $P6_3mc$, $Z = 2$)

№	R	δ	Параметры элементарной ячейки, Å		V , Å ³	$d_{\text{выч}}$, г/см ³	Метод / температура, К	R -фактор	Ссылка
			a	b					
1	Y	—	6,2907(4)	10,2691(7)	351,93	5,41	PCA/300	0,0274	[2]
		—	6,2922(4)	10,2047(7)	349,87	5,45	H-П-Ритв./100	0,0468	[2]
		—	6,2916(4)	10,2006	349,69	5,45	H-П-Ритв./10	0,05	[2]
		0,2	6,2962	10,2443	—	—	P-П-Ритв.	—	[4]
		0	6,300(1)	10,237(1)	—	—	«	—	[5]
		1,25	6,311(1)	10,106(1)	—	—	«	—	[5]
2	Tb	0,6	6,3073	10,2559	—	—	—	—	[4, 7]
3	Dy	—	6,3223(12)	10,245(3)	354,64	6,06	PCA	0,0433	[3]
4	Ho	—	6,3033(2)	10,2372(3)	352,25	6,13	P-П-Ритв., примесь Ho_2O_3	0,119	[3]
5	Yb	0,2	—	—	—	—	H-П-Ритв.	—	[4]
6	Lu	—	6,2619(3)	10,2235(5)	347,17	6,31	P-П-Ритв., примесь Lu_2O_3	0,093	[3]
7	$\text{Y}_{0,5}\text{Ca}_{0,5}$	—	6,30932(3)	10,24912(5)	—	—	PCA/296	0,0174	Наст. работа
							P-П-Ритв./295	0,118	[8]

Примечание. PCA — рентгеноструктурный анализ монокристаллов, Н-П-Ритв. — нейтронная порошковая дифрактометрия, Р-П-Ритв. — рентгеновская порошковая дифрактометрия, СИ — порошковая дифрактометрия на синхротронном излучении.

лизацию проводили в алюндовых тиглях. Смесь нагревали до температуры 1250 °C, выдерживали при этой температуре 50 ч, охлаждали до 1100 °C со скоростью 0,5 град./ч, после чего печь выключали. Кристаллы представляют собой сростки гексагональных призм размером до 0,5 мм (рис. 1, *a*). Предварительную характеристику полученных кристаллов осуществляли методами аналитической электронной микроскопии (сканирующий электронный микроскоп

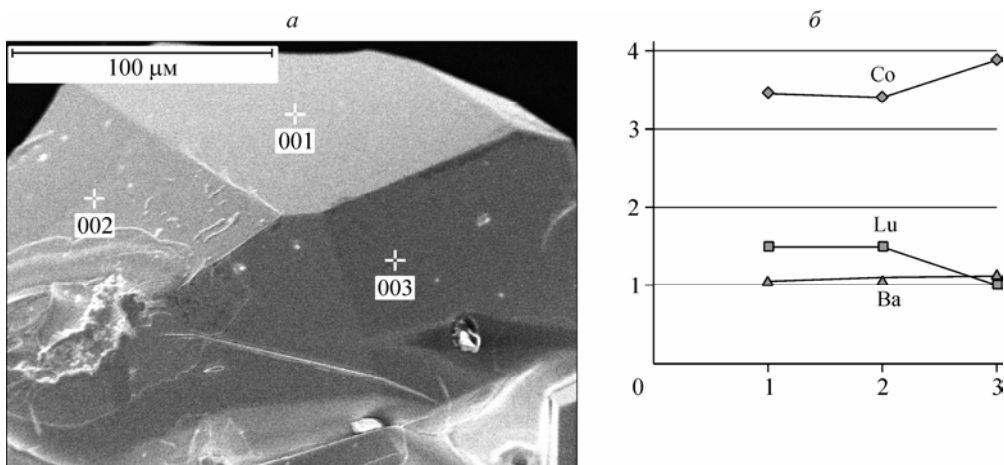


Рис. 1. Общий вид кристалла — *a* и соотношение катионов на разных его гранях — *б* по данным EDXA (по горизонтальной оси даны номера точек отбора пробы, отмеченные на фото кристалла как 001, 002 и 003)

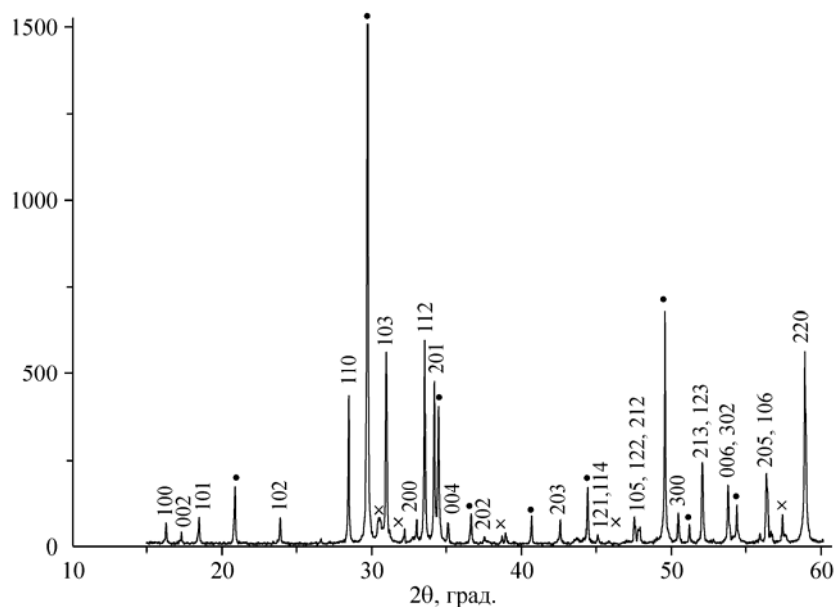


Рис. 2. Дифракционная картина от порошка кристаллов. Символом ● обозначены отражения оксида лютеция, × — следы неизвестной фазы

с автоэмиссионным катодом Jeol JSM6700F) и дифрактометрии на синхротронном излучении (станция высокого разрешения в Центре синхротронных исследований ИЯФ СО РАН, $\lambda = 1,539 \text{ \AA}$). Определение элементного состава кристаллов показало, что соотношение катионов Lu:Ba:Сo близко к 1:1:4 (см. рис. 1, δ), распределение катионов в пределах отдельных кристаллов достаточно однородное, наблюдается хорошая повторяемость состава от кристалла к кристаллу. Дифракционная картина от порошка кристаллов "as grown" представлена на рис. 2. Идентификация фазы проведена путем сравнения экспериментальной дифрактограммы с расчетанной для структурного типа 114R [2] (пр. гр. $P6_3mc$, $a = 6,254_2$, $c = 10,198_6 \text{ \AA}$). Отмечается присутствие механической примеси Lu_2O_3 .

Данные, необходимые для определения структуры, получены на автоматическом дифрактометре Bruker X8 APEX с CCD детектором. Отражения, измеренные на $\text{Mo}K_{\alpha}$ -излучении ($\lambda = 0,71073 \text{ \AA}$, графитовый монохроматор) до $\theta_{\max} = 32,54^\circ$, проиндексированы в гексагональной элементарной ячейке (пр. гр. $P6_3mc$) с параметрами: $a = 6,2601(1)$, $c = 10,2017(3) \text{ \AA}$, $V = 346,23(1) \text{ \AA}^3$, $Z = 2$ состава $\text{LuBaCo}_4\text{O}_7$, $d_{\text{выч}} = 6,331 \text{ г/см}^3$. Сбор данных проводили при поворотах кристалла на $0,5^\circ$ по оси φ (время экспозиции 50 с/фрейм) с последующим интегрированием интенсивности отражений. О качестве кристалла и съемки свидетельствует значение R_{int} (табл. 2), полученное при усреднении интенсивностей эквивалентных отражений. Поглощение учитывали эмпирически, опираясь на интенсивности эквивалентных рефлексов, с помощью программы SADABS [13]. Структура уточнена полноматричным МНК в анизотропном приближении для всех атомов по комплексу программ SHELLX-97 [13]. Набор данных, характеризующий эксперимент и полученный результат, приведен в табл. 2.

Уточнение структуры и обсуждение результатов. В качестве исходной модели для уточнения структурных параметров исследуемого кристалла 114Lu были взяты координаты, полученные автором [3]. Уточнение координат в изотропном варианте (12 циклов) закончено при достижении R -фактора 0,0425. При этом величина FLACK-параметра, характеризующего абсолютную структуру, составляла 0,8714 ($\sigma = 0,0509$), т.е. необходимо было инвертировать структуру. Это привело к снижению значения R -фактора до 0,0246 и величине FLACK-параметра 0,0095 при $\sigma = 0,0260$. Анизотропное уточнение закончено при $R = 0,0174$.

Координаты атомов, значения тепловых параметров и межатомных расстояний приведены в табл. 3 и 4 соответственно (коэффициенты анизотропных тепловых параметров могут быть

Таблица 2

Состав, кристаллографические данные, условия и результаты дифракционного эксперимента для кристалла LuBaCo₄O₇

Формула	LuBaCo ₄ O ₇	<i>h</i>	-9...9
Молекулярный вес	660,03	<i>k</i>	-9...7
Температура, К	296(2)	<i>l</i>	-10...15
Излучение	MoK _α	Количество рефлексов	
Длина волны, Å	0,71073	измер. / независ. / <i>R</i> _{инт}	3386 / 475 / 0,0425
Сингония	Гексагональная	Полнота сбора данных	100,0 %
Пр. гр., <i>Z</i>	<i>P</i> 6 ₃ <i>m</i> c, 2	Метод уточнения	Полноматричный, <i>F</i> ²
<i>a</i> , Å	6,2601(1)	Рефл. / огранич. / парам.	475 / 1 / 32
<i>c</i> , Å	10,2017(3)	<i>S</i> -фактор	1,116
<i>V</i> , Å ³	346,23(1)	<i>R</i> -фактор / [<i>I</i> ≥ 2σ(<i>I</i> _{hkl})]	0,0174 / 458
<i>d</i> _{выч} , Г/см ³	6,331	<i>R</i> -фактор (все данные)	0,0184
Коэф. поглощения, мм ⁻¹	29,066	Макс. / мин. Δρ ₀ , е/Å ³	1,288 / -1,838
<i>F</i> (000)	582	Абсолют. структ. параметр	0,002(19)
Размер кристалла, мм	0,15×0,13×0,04	Коэф. экстинкции	0,0201(11)
Диапазон сбора данных θ, град.	3,76—32,54		

Таблица 3

Координаты атомов (× 10⁴) и значения эквивалентных изотропных тепловых параметров (Å² × 10³) в структуре LuBaCo₄O₇

Атом	Кратность позиции [14]	<i>x</i>	<i>y</i>	<i>z</i>	ФЗП (МНК)	ФЗП [8]	<i>U</i> _{eq}
Ba(1)	2 <i>b</i>	3333	6667	5021(1)	0,168(8)	0,1667	17(1)
Lu(1)	2 <i>b</i>	3333	6667	1283(1)	0,167(8)	0,1667	8(1)
Co(1)	2 <i>a</i>	0	0	5642(3)	0,161(8)	0,1667	14(1)
Co(2)	6 <i>c</i>	8288(1)	1712(1)	3165(1)	0,50(2)	0,5	11(1)
O(1)	6 <i>c</i>	4993(5)	5007(5)	2510(9)	0,52(3)	0,5	31(1)
O(2)	2 <i>a</i>	0	0	7517(10)	0,159(9)	0,1667	14(1)
O(3)	6 <i>c</i>	8357(5)	1643(5)	5029(6)	0,51(3)	0,5	31(2)

Таблица 4

Некоторые длины связей (Å) в структуре LuBaCo₄O₇

Связь	<i>d</i>	Связь	<i>d</i>	Связь	<i>d</i>
Ba(1)—O(1) × 3	3,121(9)	Lu(1)—Ba(1) × 3	3,8366(3)	Co(2)—O(1) × 2	1,908(4)
Ba(1)—O(3) × 6	3,1302	Co(2)—Ba(1)	3,657(1)	Co(2)—O(2)	1,970(3)
Ba(1)—O(1) × 3	3,131(9)	Co(1)—O(3) × 3	1,888(6)	Co(1)—Ba(1) × 2	1,6694(5)
Lu(1)—O(1) × 3	2,192(6)	Co(1)—O(2)	1,91(1)	Co(2)—Ba(1) × 2	3,6588(8)
Lu(1)—O(3) × 3	2,235(6)	Co(2)—O(3)	1,904(7)		

получены у авторов). На этом этапе мы вернулись к изотропному варианту для уточнения факторов занятости позиций (ФЗП), поскольку, по данным автора [5], эти соединения могут иметь переменный состав по кислороду. Уточнение ФЗП (при фиксированных тепловых параметрах) показало, что в пределах значений стандартных отклонений формульный состав исследованно-

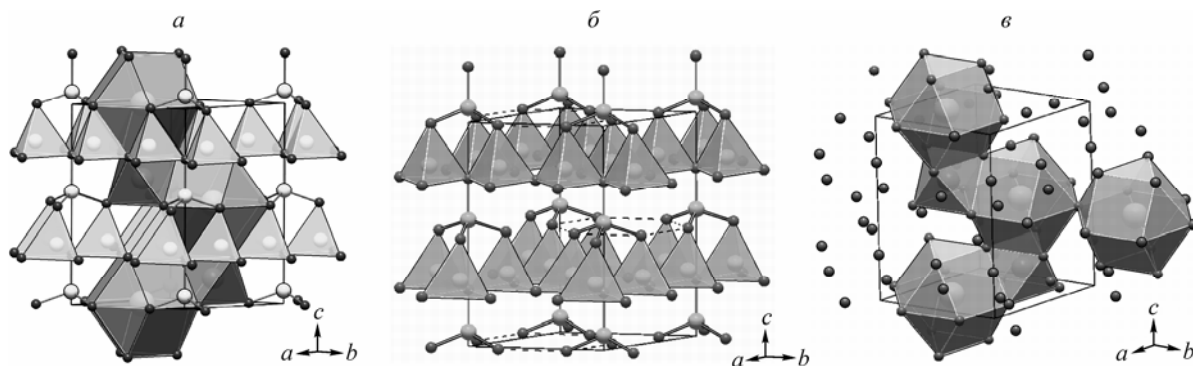


Рис. 3. Общий вид кристаллической структуры $\text{LuBaCo}_4\text{O}_7$ — a , упаковка тетраэдров $[\text{CoO}_4]$ — b , штрихпунктиром выделены гексагональные петли, в центрах которых размещаются катионы Ba . Два кристаллографически независимых типа тетраэдров $[\text{CoO}_4]$ представлены в скелетном и полиэдрическом изображении. Фрагмент совместной упаковки полизидров Ba и Lu — c

го кристалла стехиометричен и соответствует формуле $\text{LuBaCo}_4\text{O}_7$ (см. табл. 4). Электронейтральность соединения должна, по всей вероятности, обеспечиваться переменной степенью окисления атомов кобальта. Соблюдение электронейтральности соединения $\text{Lu}_2\text{Ba}_2\text{Co}_{(6+2)}\text{O}_{14}$ (полный состав элементарной ячейки) осуществляется при условии разделения зарядов для атомов $\text{Co}(2)$ и $\text{Co}(1)$ на $2+$ и $3+$ в 6-кратной и 2-кратной позициях соответственно. Это подтверждают и величины межатомных расстояний $\text{Co}—\text{O}$: для $\text{Co}(1)$ они существенно короче (см. табл. 4) [15].

Структура каркасного типа, основу которой определяет ажурный каркас вершинно связанных тетраэдров CoO_4 , но ее можно разложить на слои, перпендикулярные оси c , укладка которых определяется законом плотнейшей четырехслойной упаковки типа $ABAC$, причем каждые два последовательных слоя (AB и AC) представляют собой пакеты вюрцитового типа $B4$ [15] с разворотом на 60° относительно друг друга. Отличие от структурного типа в том, что слои B и C гетероатомны: атомы $\text{O}(3)$ основания тетраэдра $\text{Co}(2)\text{O}_4$ образуют связанные общими вершинами гексагоны, центрированные атомами Ba на уровнях $z \approx 0$ или $0,5$. Слои A образованы атомами кислорода $\text{O}(1)$ и $\text{O}(2)$ на уровнях $z \approx 0,25$ и $0,75$, образующими практически правильные тригонные сетки с расстояниями $\text{O}...-\text{O}$ в сетке, близкими к $1/2a$ и $1/2b$, и межслоевым расстоянием $\approx 1/2c$, создавая возможности для образования гексагональной псевдоячейки. Однако реальное удвоение каждого из периодов обусловлено гетероатомностью слоев B и C . Взаимная ориентация слоев ABA относительно друг друга задает антикубооктаэдрическую форму полиздра атома Ba . Октаэдрические полости плотнейшей упаковки занимают атомы Lu на уровнях $z \approx 1/8, 5/8$.

Связанные общими гранями полизидры Ba и Lu образуют ажурный каркас. Сосуществование двух взаимопроникающих каркасов обеспечивается специфической (линейной) ориентацией ребер тетраэдров CoO_4 с образованием *бантичной* конфигурации, определяемой необходимостью компенсации зарядов [17]. Геометрическая соразмерность таких структурных фрагментов, как основания трех тетраэдров CoO_4 в одной плоскости и гексагонов, центрированных атомами Ba , позволяет создать псевдовюрцитовый двухпакетный мотив, включающий катион-анионные слои (рис. 3), в котором существуют бесконечные каналы треугольного сечения. Размер сечения каналов определяется длинами боковых ребер тетраэдров CoO_4 , расстояниями $\text{O}(3)...-\text{O}(3)'$ между основаниями одноуровневых (трансляционных вдоль [010]) тетраэдров $\text{Co}(1)\text{O}_4$ и $\text{O}(1)'...-\text{O}(3)'$ — атомами разных уровней по z ($0,25$ и $0,50$ соответственно), представляющими собой общие вершины полизидров $\text{Co}(2)$, Ba и Lu . Вполне вероятно, что в эти каналы может попадать кислород, который включают соединения этого типа при нагревании до 400°C [5].

Изоструктурность нашего соединения с $\text{LuBaAlZn}_3\text{O}_7$ (пр. гр. $P6_3mc$) [10] и связь элементарных ячеек этих соединений с элементарной ячейкой ромбического соединения $\text{Ba}_2\text{Er}_2\text{Zn}_8\text{O}_{13}$

(пр. гр. *Cmc2₁*) [11] может помочь объяснению переменного состава по кислороду в структурах 114R. Рассмотрение взаимных переходов структур с разным содержанием кислорода предполагается провести в дальнейших исследованиях. Как нам стало известно, подобного рода работа выполнена для порошков состава YBaCo₄O_{8,1} авторами [18] совсем недавно.

В заключение можно отметить, что по сравнению с порошковыми данными [2] изучение структуры монокристалла позволило установить абсолютную структуру и показать стехиометричность полученных кристаллов LuBaCo₄O_{7+δ} ($\delta = 0$).

Работа поддержана грантом "Междисциплинарный интеграционный проект СО РАН № 81".

Авторы благодарны А.С. Лаврову за постановку задачи исследования системы Lu—Ba—Co—O и плодотворные обсуждения в ходе работы и Е.А. Максимовскому за съемку дифрактограммы в Центре синхротронных исследований ИЯФ.

СПИСОК ЛИТЕРАТУРЫ

1. Sheptyakov D.V., Podlesnyak A., Shiryaev S.V. et al. // PSI Sci. Rep. – 2001. – III. – P. 64.
2. Valdor M., Andersson M. // Solid State Sci. – 2002. – 4. – P. 923.
3. Valdor M. // Ibid. – 2004. – 6. – P. 251.
4. Bychkov G.L., Shiryaev S.V., Soldatov A.G. et al. // Cryst. Res. Technol. – 2005. – 40. – P. 395.
5. Karpinen M., Yamauchi H., Otani S. et al. // Chem. Mater. – 2006. – 18. – P. 490.
6. Hyg A., Mitchell J.E., Zheng H. et al. // J. Solid State Chem. – 2006. – 179. – P. 1136.
7. Гатальская В.И., Dubkowska H., Dube P. и др. // Физика твердого тела. – 2007. – 49. – С. 1070.
8. Valdor M. // Solid State Sci. – 2006. – 8. – P. 1272.
9. Soda M., Yasui Y., Moyoshi T. et al. // J. Magn. Magn. Mater. – 2007. – 310. – P. e441.
10. Soda M., Moyoshi T., Yasui Y. et al. // J. Phys. Soc. Jpn. – 2007. – 76. – P. 084701-1.
11. Rabbow C., Muller-Buschbaum H. // Z. Anorgan. Allgem. Chem. – 1994. – 620. – S. 527.
12. Muller-Buschbaum H., Rabbow C. // Z. Naturfors. Teil B. Anorgan. Chem., Organ. Chem. – 1996. – 51. – S. 343.
13. Bruker AXS Inc. (2004). APEX2 (Version 1.08), SAINT (Version 7.03), SADABS (Version 2.11) and SHELXTL (Version 6.12). Bruker Advanced X-ray Solutions, Madison, Wisconsin, USA.
14. Sheldrick G.M. SHELX-97, Release 97-2. – University of Goettingen, Germany, 1998.
15. Intern. Tables for Crystallogr. V.A, 854 p. – Dordrecht: Holland/Boston: USA, D. Reidel Publishing Company, 1983.
16. Крабс Г. Основы кристаллохимии неорганических соединений. – М.: Мир, 1971.
17. Сандомирский П.А., Белов Н.В. Кристаллохимия смешанных анионных радикалов. – М.: Наука, 1984. – С. 64 – 69.
18. Chmaissen O., Zheng H., Huq A. et al. // J. Solid State Chem. – 2008. – 181. – P. 664.